

ՍՈՂԱՆՔ ԽԱՅՏԱԲԴՐԵՏ ԿԱՎԵՐՈՒՄ ԵՐԵՎԱՆՈՒՄ

Խրկար. միներ. գիտ. թեկնածու ԴԻՄԻՏՐԻ ՍԱՐԳՍՅԱՆ¹ և
ինժեներ-երկրաբան ՀԵՆՐԻԿ ԲԱԼԱՅԱՆ²

Ո և ֆ ե ր ս տ: Երեանում ոռոգման շրանցքի լանջին կառուցվել էր շրատար. լանջի խորքային սողբը առաջացրել է շրատարի արագ ձեռափուլթյուն: Նեցուկների տեղաշարժի միջին ամսական արագությունը գերազանցում էր 50 մմ/ամիս: Լանջի կայունացման համար ոռոգման շրանցքը առնվիլ է երկաթբետոնյա ստորանցքի մեջ և կատարվել է շեպի հարթեցում:

1966 թ. գարնանը Երեանի հարավ-արևելյան ծայրամասում, լանջի վրա, տեղի ունեցավ սողանք, որը վթարի ենթարկեց կապուլտ լճի շրատարը: Նկ. 1³-ում պատկերված է սողանքային տեղամասի պլանը: Տեղամասը ընկած է խոշոր շրադրյուրի անտիկլինալի հյուսիս-արևմտյան թերի հարավ-արևմտյան պերիկլինային գոնայում: Անտիկլինալն ունի հյուսիս-արևելյան հարավ-արևմտյան տարածում և բարդացած է երկրորդական ծալքավորմամբ:

Տեղամասի երկրաբանական կառուցվածքին գործակցում են ստորին միոցենի խայտարղետ շերտի նստվածքները՝ ներկայացված մոլասային ֆորմացիայով, որը ձևավորվել է մերձեռնային իշվածքում: Շրջանի ստրուկտորային տեսքի ձևավորումը ավարտվել է վերին-օլիգոցենյան—ներքին-միոցենյան ժամանակում, որից հետո ենթարկվել է երկարատև պենեպլենային գործունեությունը. խայտարղետ շերտը խորը կարգել է հարթեցվել է: Վերին պլիոցենում նրա մակերեսին նստել է ալյուվիալ գլաքարա-ճալաքարային նստվածքների հաստ շերտ (*դարաւափ 180—200 մ.*): Այս նստվածքներն ունեն լայն տարածում սողանքային լանջից հարավ-արևելք ընկած սարահարթում և դեպի արևմուտք $6-8^{\circ}$ անկյան տակ իշնում են Արարատյան դաշտավայրի կողմը:

Չորրորդական ժամանակաշրջանում շարունակվել է ակտիվ էրոզիան, որի հետևանքով առաջացել է մանր և խոշոր ձորակների շարք: Դրանով էլ պայմանավորված են ժամանակակից ուղիեցիկ գծերը:

Խոշոր ձորակի զարգացման հետևանքով, որը գտնվում է տեղամասից $1,5-2$ կմ դեպի հյուսիս, առաջացել է գահավեժ լանջ՝ կազմված խայտարղետ շերտի ավազակավայրին նստվածքներից:

Սողանքային լանջում ապարների տարածմանը խաչաձև փորված շրու հորատանցքները, մինչև 45 մ խորությունը երեան են բերել վարդագույն, վարդաշագանակագույն, կարմիր, մոխրագույն, տարրեր երանգների կավեր, որոնք շերտավորված են ճալաքարերով, մանրահատիկ կավային ավազաքարերով և

¹ ՀԱՍՀ ԳԱ Երկրաբանական գիտությունների ինստիտուտի գեոմեխանիկայի բաժնի ավագ դիտական աշխատող:

² «Երեանակախագիծ» ինստիտուտի գլխավոր երկրաբան:

³ Նկարները տե՛ս էջ 120—121:

կտրվածքի ներքին մասում՝ արգիլիտների ևնթաշերտերով։ Գրունտային չբերը՝ ավաղաքարերում ընկած են $1,0-1,5$ մ խորության վրա։ Հայտաբերություններին զերծ հայտաբերությունները տեղադրված են դեպի հյուսիս-հյուսիս- արևմուտք $8-10^{\circ}$ անկումով, այսինքն ընկնում են դեպի լանջը։ Այդ դիրքը նպաստում է սողանքային տեղաշարժերին, որոնց ենթարկված է կավային շերտի վերին մասը՝ մինչև $13,0$ մ խորությունը։ Սահեցման մակերևույթի դիրքը բնորոշվում է պարզ արտահայտված ահճեցման հայելիներով, որոնց նմուշները համապատասխանաբար վերցվել են 13 և 10 մ խորություններից № 2 և 4 ըրատանցքերից։

Ապարների ֆիզիկա-մեխանիկական հատկությունների ուսումնասիրման համար օգտագործվել են այն նմուշները, որոնք վերցվել են նշված 4 հորատանցքերից։

Գրունտաները սեղմելի են ($a=0,01$ սմ 2 /կգ) և գործնականորեն չըամեր ($k=10^{-6}-10^{-7}$ սմ/ վր)։ Սահերի դիմացրության պարամետրերը կազմում են $\gamma=23^{\circ}$ և $c=0,6$ կգ/սմ 2 ։

Լանջի դեֆորմացիայի գարգացմանը մեծապես նպաստել է Արտաշատի ոռոգման չըանցքի փորումը երեսունական թվականներին։ Լանջի մինչև $5-6$ մ խորության կտրվածքի հետևանքով առաջացել էր չըանցքի ձախ ափի խորքային սողը։ Երեսապատման բացակայության հետևանքով չըանցքի դանդաղ դեֆորմացիաները շերին նկատվել։ Սողանքի գարգացման այդ առաջին փուլում լանջի վրա ճեղքերը բացվել են նկ. 1-ի վրա ցուց տրված զոտու սահմաններով։

1965 թ. վերջում լանջով անցկացվեց Կապույտ լճի չըատարք Զբատարի տրասան կազմում է 30° անկյուն լանջի անկման ուղղամբյան հետ։ Զբատարի երկու գծերը 1 մ տրամադրով հնաված են բետոնյա նեցուկների վրա, որոնք տեղադրված են 1 մ խորություն ունեցող հանվածքում։ Հանվածքի հատակը բետոնապատված է։

Շարունակվող խորքային սողքն առաջացրել է չըատարքի կցատեների խախտում և ջրի հոսքի կորուստ, չուրը թափանցելով զբունակ մեջ նպաստել է սողքի արագացմանը։

Լանջի վրա սողքային երեսությները հայտնաբերվել են 1966 թ. գարնանը, չըատարքի կառուցումից կարճ ժամանակ անց։ Ճեղքերը տարածվել են լանջի միջին մասում, ներառյալ չըատարքի ստորին հատվածը (№ 10 նեցուկից ներքո)։ Նկ. 1-ում պատկերված է ճեղքերի դասավորությունը սողունության երկրորդ փուլում, 1967 թ. հոկտեմբերին։

Գրանից հետո կազմակերպվել էին A, B և C երեք խարսխային և ինը միջանկալ (№ 9-17) նեցուկների տեղաշարժերի գործիքային դիտումներ։ յուրաքանչյուր նեցուկի վրա դիտվում էին երկու կետեր (նկ. 1)։ Դիտումները կատարվել են զգաղետեղման մեթոդով։ 19.10.1967 մինչև 15.05.1968 անց են կացվել 7 ցիկլեր։ սողանքային զոտու սահմանը սողունության երկրորդ փուլում անցնում էր № 10 միջանկալ նեցուկի տակով։

Սողանքային տեղաշարժերը չըատարքին պատճառել են վնասվածքներ՝ կցատեղերը խախտավել են, հատկապես չըատարքի խողովակների ներքին մասում և B միջին խարսխային հենարանի կցման տեղում, չըատարքը մասնակիորեն ճամփվել է C անշարժ խարսխային նեցուկի հետ հպֆան տեղում։ Այդ երեսությները առաջացրել են վիարային վիճակ չըատարքի համար։

1968 թ. գարնանը, առաջ մինուլորատային տեղումներից հետո, լանջի վրա սողանքային երեսությները ուժեղացել են։ Սողունության այս երկրորդ փուլում տեղաշարժման մեջ բնդրիված էր նաև լանջի միջին մասը ներառյալ B միջին խարսխային նեցուկը (նկ. 1)։ Այդ նույն ժամանակ կազմակերպվել էին դիտումներ լանջի ստորին մասում, Արտաշատի չըանցքի երկու ափերի երկայն կացվել դիտումների 4 ցակու։

Նկ. 1-ում պատկերված են տեղաշարժերի միջին ամսական արագությունների վեկտորները երկրորդ դիտումների սկզբնական շրջանում (1967 հոկտեմբերի 19-ից մինչև դեկտեմբերի 7-ը)։ Այս գծագիրը տալիս է միայն

զանցի դեֆորմացիայի բնույթի ընդհանուր պատկերը: Ինչպես երևում է, բոլոր վեհաբերները ուղղված են դեպի ներքև, այսինքն լանջի շերտերի անկման ուղղությամբ: Այն կետերը, որոնք տեղադրված են սողանքից դուրս (№ 20) և զրանցքից ներքև (№ 24, 25, 26) տեղաշարժված չեն:

Նկ. 3-ում պատկերված է երկու սողանքային կետերի տեղաշարի Տ մեծության և արագության ժամանակից կախված կորադեմքը: Գրաֆիկը ցուց է ատլի հաստատուն արագությամբ տեղաշարժ (30 մմ/ամիս) դիման առաջին շրջանում (1967 թ. Հոկտեմբերից մինչև 1968 թ. փետրվարը): Երկորոշ ժամանակաշրջանում (1968 թ. փետրվարից մինչև ապրիլ) լանջի վերին մասը (կետ № 10') շարունակվում էր տեղաշարժվել նույն արագությամբ: Լանջի ստորին մասում (կետ № 14) տեղի է ունեցել տեղաշարժի արագության զգայի մեծացում, որը կապված է լանջի այդ մասի աղետային փուլի անցման հետ: Այստեղ տեղաշարժի արագությունները հասնում են մինչև 525 մմ/ամիս (առավելագույն արագությունը 1968 թ. մարտի 8-ին):

Սողանքի դեմ պայմանական համար շրանցքի մի մասը (117 մ) ամփոփվել է ուղղանկյուն կտրվածքով ($6,0 \times 3,0$ մ) երկաթբետոնյա խողովակի մեջ, իսկ լանջը հարթեցվել է: Նկ. 2-ում ցուց են տրված իրականացված միջոցառումների սխեման: Այդ միջոցառումները բավարար եղան լանջը կայունացնելու համար:

Սույն աշխատանքում օգտագործված են ինչպես հեղինակների սեփական նյութերը, այնպես էլ «Հիդրոնախագիծ» ինստիտուտի Հայկական բաժանմունքի կողմից կատարված տեղաշարժերի շափման արդյունքները:

Աշխատանքի ընթացքում և սույն հաղորդագրությունը կազմելու ժամանակ հեղինակները մշտապես ստացել են աշխատանքի գիտական ղեկավար պրոֆ. Գևորգ Տեր-Մանեկանի օգնությունը և արժեքավոր խորհուրդները: Հեղինակները օգտվելով առիթից, արտահայտում են իրենց անկեղծ երախտադիտությունը:

ОПОЛЗЕНЬ В ПЕСТРОЦВЕТНЫХ ГЛИНАХ В ЕРЕВАНЕ

Канд. геол.-минер. наук Д. Б. САРКИСЯН¹ и инженер-геолог Г. М. БАЛАЯН²

Реферат. На склоне оросительного канала в Ереване был сооружен водовод; имевшая место глубинная ползучесть склона усилилась и вызвала деформации трубопровода. Средняя скорость смещения опор превышала 50 мм/мес. Для стабилизации склона оросительный канал был заключен в железобетонную трубу и произведено уложение откоса.

Весной 1966 г. на склоне у юго-восточной окраины Еревана произошел оползень, вызвавший аварию Капуйтличского водовода. На рис. 1³ показан план оползневого участка, расположенного на юго-западной периклинальной зоне северо-западного крыла крупной шорахбюрской антиклинали, имеющей простиранье на ЮЗ—СВ исложненной вторичной складчатостью.

В геологическом строении района участают отложения пестроцветной толщи нижнего миоцена, представленного молласовой формацией, развившейся в предгорной впадине. Формирование структурного

¹ Старший научный сотрудник отдела геомеханики Института геологических наук АН Арм. ССР.

² Главный геолог института «Ереванпроект».

³ Рисунки см. на стр. 120—121.

облика района завершилось в верхнеолигоцен—нижнемиоценовое время, после чего началась длительная пeneplенизация; пестроцветная толща была сильно эродирована. В верхнем плиоцене на ее поверхности отложилась мощная толща аллювиальных валуно-галечных отложений (терраса 180—200 м). Эти отложения имеют широкое развитие на плато, погружаясь под углом 6—8° к западу в сторону Арагатской котловины.

В четвертичном периоде продолжалась активная эрозионная деятельность, выразившаяся в образовании сети мелких и крупных логов, которые определили современные черты рельефа.

Вследствие развития крупного лога, расположенного в 1,5—2 км севернее участка, образовался крутой склон, сложенный песчано-глинистыми отложениями пестроцветной толщи. Пробуренные на оползневом склоне четыре скважины (рис. 2), вкрест простирания пород, вскрыли до глубины 45 м толщу розовых, розовато-коричневых, красных и серых с различным оттенком глин, переслаивающихся галечниками, мелкозернистыми глинистыми песчаниками и внизу разреза тонкими прослойками аргиллита. Уровень грунтовых вод в песчаникахложен на глубине 1,0—1,5 м.

Породы пестроцветной толщи на участке залегают с падением на ССЗ под углом 8—10°, т. е. в сторону склона; это способствует оползневым смещениям, которым подвержена верхняя часть глинистой толщи до глубины 13 м. Положение поверхности скольжения характеризуется отчетливо выраженным зеркалами скольжения в кернах скважин № 2 и 4 на глубинах 13 и 10 м соответственно.

Физико-механические свойства определены по образцам, взятым из этих четырех скважин. Грунты мало сжимаемы ($a=0,01 \text{ см}^2/\text{кг}$) и практически водоупорны ($k=10^{-6}-10^{-7} \text{ см}/\text{сек}$); параметры сопротивления сдвигу равны $\varphi=23^\circ$ и $c=0,6 \text{ кг}/\text{см}^2$.

Большое значение для развития деформации имело прорывие Артшатского оросительного канала в 30-х годах. Склон оказался подрезанным на глубину 5—6 м. Это вызвало глубинную ползучесть левого берега канала. Ввиду отсутствия облицовки, медленные деформации канала оставались незамеченными. Трешины на склоне в этой первой фазе развития оползня раскрывались в пределах зоны, показанной на рис. 1.

В конце 1965 г. по склону был проведен Капуйтлический водовод. Трасса водовода образует угол 30° с направлением падения склона. Две нитки водовода диаметром 1 м были уложены на бетонные опоры, установленные в выемке глубиной до 1 м; дно выемки бетонировано. Продолжающаяся глубинная ползучесть вызвала расстройство стыков водовода и утечку воды, которая проникала в грунт и содействовала усилению ползучести.

Оползневые явления на склоне были обнаружены весной 1966 г., вскоре после устройства водовода. Трешины распространялись на среднюю часть склона, включая нижний отрезок водовода (ниже опоры № 10). На рис. 1 показано расположение трещин во второй фазе оползания, в октябре 1967 г.

Вслед за тем были организованы инструментальные наблюдения за смещением трех анкерных опор *A*, *B*, *C* и девяти промежуточных опор (№ 9—17); на каждой из опор наблюдалось по две точки (рис. 1). Наблюдения велись створным методом; за время с 19.X.1967 по 15.V.1968 было проведено семь циклов наблюдений. Граница оползневой зоны во второй фазе оползания проходила под промежуточной

опорой № 10. Оползневые смещения причинили повреждения водоводу: были расстроены стыки, в особенности у примыкания нижней части нитки водовода к средней анкерной опоре *B*; был частично смят трубопровод у примыкания к нижней неподвижной анкерной опоре *C*. Это неоднократно вызывало аварийное состояние водовода.

Весной 1968 г., после обильных атмосферных осадков, оползневые явления на склоне усилились; в этой третьей фазе оползания подвижками оказалась охваченной вся средняя часть склона, включая среднюю анкерную опору *B* (рис. 1). Тогда же были организованы наблюдения на нижней части склона, вдоль обоих берегов Арташатского канала (оползневые точки № 20—27); с 14.II до 15.V. 1968 проведено четыре цикла наблюдений.

На рис. I показаны векторы среднемесячных скоростей смещения в начале второго периода наблюдений (с 19 октября по 7 декабря 1967 г.). Этот чертеж дает лишь общее представление о характере деформации склона. Видно, что все векторы направлены вниз по склону, в направлении падения пластов. Точки, расположенные вне оползня (№ 20) и ниже канала (№ 24, 25, 26), не смешались.

На рис. 3 показаны кривые зависимости величины \dot{s} и скорости v смещения двух оползневых точек от времени. График показывает смещение с постоянной скоростью 30 мм/месяц в первом периоде наблюдений (с октября 1967 г. по февраль 1968 г.). Во втором периоде (с февраля по апрель 1968 г.) верхняя часть склона (точка № 10') продолжала смещаться с той же скоростью. В нижней части склона (точка № 14) резко увеличилась скорость смещения, в связи с переходом этой части склона в катастрофическую fazu; здесь скорости смещения достигли 525 мм/месяц (максимальная скорость 8 марта 1968 г.).

Для борьбы с оползнями часть канала длиной 117 м была заключена в железобетонную трубу прямоугольного сечения (6,0×3,0 м), а склон был выпложен. На рис. 2 показана схема осуществленных мероприятий. Эти меры оказались достаточными и в настоящее время склон стабилизировался.

В данной работе использованы наблюдения авторов и результаты измерений смещений, произведенных Армянским отделением института «Гидропроект». При проведении работы и составлении настоящего сообщения авторы получали постоянную помощь и ценные указания научного руководителя работ проф. Г. И. Тер-Степаняна, за что выражают ему свою искреннюю благодарность.

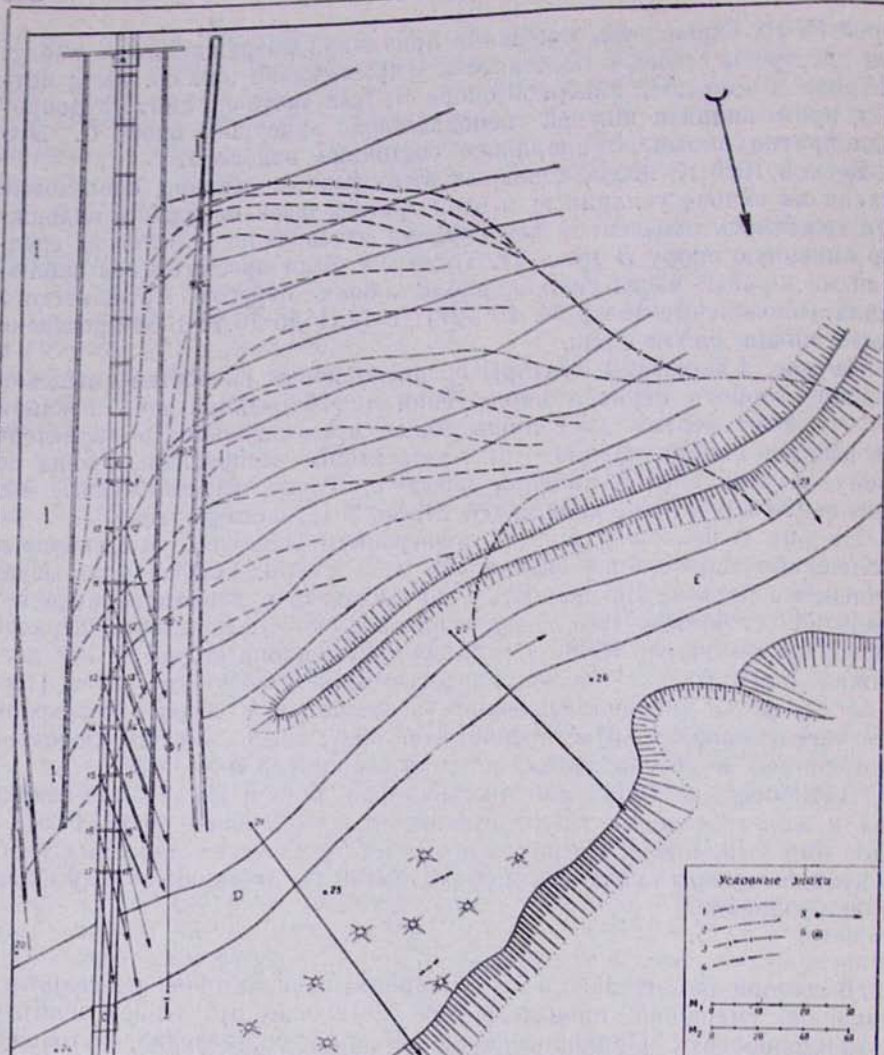
LANDSLIDE IN RED BEDS IN YEREVAN

DIMITRY SARKISSIAN, Cand.Geol.Miner.Sc.¹ and HENRIC BALAIAN, Geologist²

Abstract. A conduit was built across the slope of an irrigation canal in Yerevan; depth creep of the slope has accelerated and deformation of the penstock were caused. Average rate of displacement of penstock supports has exceeded 50 millimetres per mensum. In order to stabilize the slope the irrigation canal was enclosed in a reinforced concrete tube and the slope was made more gentle.

¹ Senior Scientific Worker, Dept. of Geomechanics, Geological Institute, Armenian Academy of Sciences.

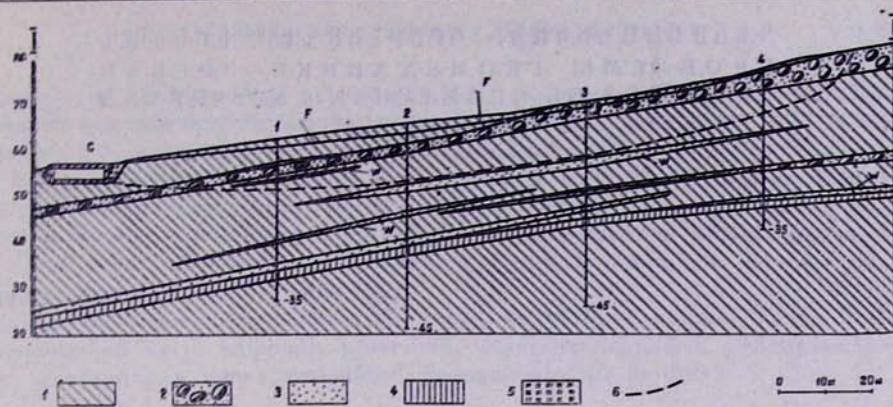
² Chief Geologist, Institute „Yerevanproject“.



Նկ. 1. Սովանելի պղանք ջրատարի մուտ: A և C—ծայրամասային նեցուկներ, B—միջանկալ նեցուկ, D—խողանկակի մեջ ամփոփված ոռոգման ջրանցք, E—նույնը ոչեղանակատած. 1—սողանքը եղաղացող սողանքային ձեզքը զարպացման առաջին փուլում, 2—նույնը երկրորդում, 3—նույնը երրորդում, 4—ստորապրյամ սողանքային ձեզքը, 5—հորատանցը և նրա համարը, 6—սողանքային կետ, նրա համարը և տեղաշարժի միջին ամսական արագության վեկտորը (1967 թ. հոկտեմբերից մինչև 1968 թ. մարտը). M₁—պղանքի զծային մասշտաբը մետրով; M₂—տեղաշարժերը արագության մասշտաբը մետրով:

Рис. 1. План оползня у водовода. А и С—концевые анкерные опоры; В—промежуточная опора; D—оросительный канал, заключенный в трубу; Е—то же необлицованный; 1—оползневая трещина, оконтуривающая оползень в первой фазе развития; 2—то же во второй; 3—то же в третьей; 4—подчиненные оползневые трещины; 5—буровая скважина и ее номер; 6—оползневая точка, ее номер и вектор среднемесячной скорости смещения (за время с октября 1967 г. по март 1968 г.); M₁—линейный масштаб плана в метрах; M₂—масштаб скорости смещений в миллиметрах в месяц.

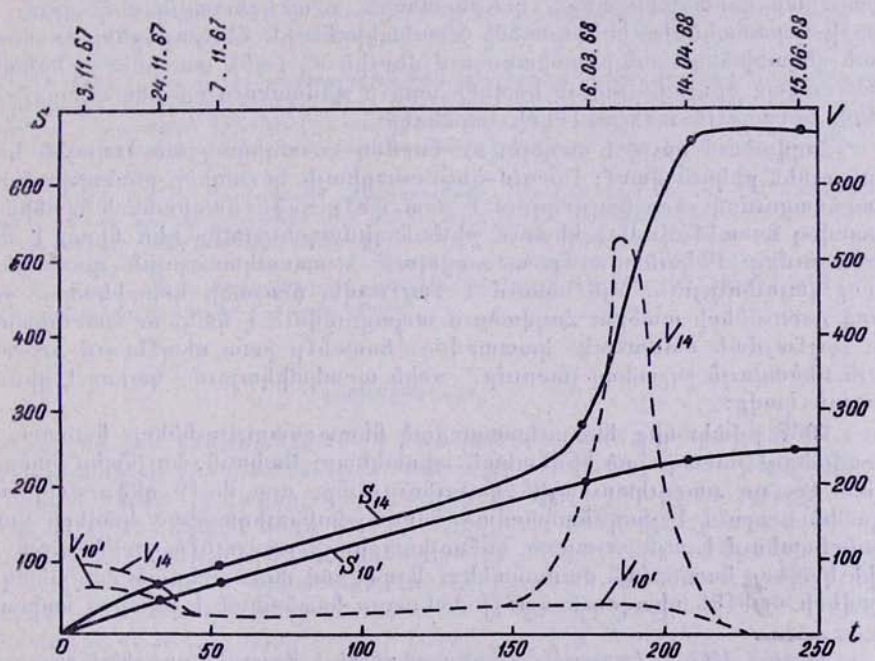
Fig. 1. Plan of the landslide at conduit. A and C—end anchor supports; B—intermediate support, D—irrigation canal, enclosed in tube; E—the same, unlined; 1—landslide fissure outlining the landslide in the first phase of development; 2—the same in the second; 3—the same in the third; 4—subordinate landslide fissures; 5—borehole and its number; 6—landslide point, its number and vector of average monthly rate of displacement (for the time interval from October 1967 till March 1968); M₁—linear scale of plan in metres; M₂—scale of rates of displacement millimetres per month.



Նկ. 2. Երկրաբանական կտրվածք I—I' գծով: 1—խայտաբղն պինդ կավեր ավազաբարերի և նմաշերտերով. 2—գլաքարա-ճայաբարյան նստվածքներ. 3—մանրահատիկ ավազաբարեր. 4—խայտաբղն պինդ կավեր արգիլիտների և նմաշերտերով. 5—լցովի գրունտ. 6—սողանքի մակերեսություն. F—լանջի մակերեսը հարթեցումից հետո. W—ջրատար հորիզոններ.

Рис. 2. Геологический разрез по линии I—I'. 1—пестроцветные плотные глины с прослойями песчаников; 2—валунисто-галечные отложения; 3—мелкозернистые песчаники; 4—пестроцветные плотные глины с прослойями аргиллитов; 5—насыпной грунт; 6—поверхность скольжения оползня; F—поверхность склона после выполнования; W—водоносные горизонты.

Fig. 2. Geological cross-section along Line I—I'. 1—dense red clays with sandstone seams; 2—boulder-pebble deposits; 3—fine-grained sandstones; 4—dense red clays with argillite seams; 5—fill; 6—sliding surface of the landslide; F—surface of the slope after making gentle; W—waterbearing horizons



Նկ. 3. Սողանքային կտերի տեղաշարժի s մեծության և v արագույան մեծություններ սողանքի ստորին (№ 14) և միջին (№ 10') մասերում: Արցիսներ— t ժամանակը օրերով, օրդինատները ձախից, s տեղաշարժի միլիմետրով, աշխատավորությունը միլիմետրով/ամսությունը

Рис. 3. График величины s и скорости v смещения оползневых точек в нижней (№ 14) и средней (№ 10') частях оползня. Абсциссы—время t в днях; ординанты слева смещения s в миллиметрах и справа—скорость v в миллиметрах в месяц.

Fig. 3. Graph of amount s and rate v of displacement of landslide points in the lower (No. 14) and in the middle (No. 10') parts of the landslide. Abscissas—time t in days; ordinates on the left—displacement s in millimeters; on the

right—velocity v in millimeters per month.